

Journal of Natural Environmental Hazards, Vol 12, Issue 35, March 2023

The analysis of risk and vulnerability Seismic of human settlements in Basht County using fuzzy Dimatel and ArcGIS

Hossein Ghazanfar Pour^{1*}, Hossein Hosseine khah², Esmail Kamali³

1. Corresponding Author, Associate Professor of Geography and Urban Planning, Shahid Bahonar University of Kerman, Kerman, Iran.
2. PhD in Geography and Urban Planning, Isfahan University, Isfahan, Iran.
3. MSc in Geography and Urban Planning, Isfahan University, Isfahan, Iran.

Article Info

ABSTRACT

Article type:

Research Article

Article history:

Received: 20 September 2021

Revised: 14 November 2022

Accepted: 24 November 2022

Keywords:

Dimatl model, earthquake, human settlements, Basht county.

Explanation: The post-metropolitan era can be called the era of the vulnerability of urban and rural settlements; because on the one hand, these settlements are facing natural hazards and technological crises, and on the other hand, they are facing security and social crises. **Method:** The present article is applied in terms of purpose and descriptive-analytical in terms of method. Collect data from the country's surveying organization, satellite images, etc., as well as to study and analyze data ARC GIS software, Dimatel model, and WASPAS software were used. **Findings:** The results of the study show that of the area of 1037.64 square kilometers in Basht city, 150.80 square kilometers (14.53) is in the safe zone and 282.25 square kilometers (27.20%) is in the low-risk zone. 273.29 square kilometers equivalent to 26.33 percent in the middle zone, 233.20 square kilometers equivalent to 22.47 percent in the high earthquake risk zone, and also 98.20 square kilometers of the whole city equal to 9.47 in the very high earthquake risk zone. Also, the results of the earthquake risk showed that the city of Basht is located in a zone with a high earthquake risk. . Also, the results of the earthquake risk showed that the city of Basht is located in a zone with a high earthquake risk. Spatial analysis of the vulnerability of rural areas and settlements shows that 32.16% of settlements and villages of Basht city are in a very high-risk zone, 23.97% in a high-risk zone, 29.23% in a medium-risk zone, and 69.69 11% of rural settlements and settlements are in the low earthquake risk zone. **Results:** Therefore, taking necessary measures such as preventing the establishment, issuing permits and preventing construction on faults, public awareness of preventive measures before accidents, preventing the establishment and concentration of urban and rural settlements in high-altitude areas, establishing a warning system And timely warnings in pre-earthquake aftershocks, access of all urban and rural settlements to communication routes and relief centers for quick access to critical areas after the earthquake, etc. to reduce casualties and financial losses caused by the earthquake crisis in the city's population centers Basht seems necessary.

Cite this article: Ghazanfar Pour, H., Hosseinekhah, H., & Kamali, E. (2023). The analysis of risk and vulnerability Seismic of human settlements in Basht County using fuzzy Dimatel and ArcGIS. Journal of Natural Environmental Hazards, 12(35), 21-36. DOI: 10.22111/jneh.2022.39945.1845



© Hossein Ghazanfar pour.

DOI: 10.22111/jneh.2022.39945.1845

Publisher: University of Sistan and Baluchestan

* Corresponding Author Email: Ma1380@uk.ac.ir

مجله علمی پژوهشی مخاطرات محیط طبیعی، دوره ۱۲، شماره ۳۵، فروردین ۱۴۰۲

تحلیل ریسک و آسیب‌پذیری لرزه‌ای سکونتگاه‌های انسانی شهرستان باشت با استفاده از مدل دیماتل فازی و Gis

حسین غضنفرپور^{۱*}، حسین حسینی خواه^۲، اسماعیل کمالی باگراهی^۳

۱. دانشیار جغرافیا و برنامه‌ریزی شهری، دانشگاه شهید باهنر کرمان، کرمان (نویسنده مسئول)
۲. دکتری جغرافیا و برنامه‌ریزی شهری، دانشگاه اصفهان، اصفهان
۳. کارشناس ارشد جغرافیا و برنامه‌ریزی شهری، دانشگاه اصفهان، اصفهان

اطلاعات مقاله	چکیده
نوع مقاله: مقاله پژوهشی	عصر پست متropolیتین را می‌توان عصر آسیب‌پذیری سکونتگاه‌های شهری و روستایی نامید؛ زیرا از یکسو این سکونتگاه‌ها با مخاطرات طبیعی و بحران‌های تکنولوژیک و ازوی‌دیگر با بحران‌های امنیتی و اجتماعی روبرو می‌باشند. این مقاله از نظر هدف، کاربردی و از نظر روش، توصیفی - تحلیلی است. برای گردآوری داده‌ها از سازمان نقشه‌برداری کشور، تصاویر ماهواره‌ای و همچنین برای بررسی و تجزیه و تحلیل داده‌ها از نرم‌افزار ARCGIS، مدل WASPAS و Dimatel استفاده شده است. نتایج حاصل از پژوهش نشان می‌دهد که از مساحت ۱۰۳۷/۶۴ کیلومترمربع شهرستان باشت ۱۵۰/۸۰ کیلومترمربع معادل ۱۴/۵۳ در پهنه بدون خطر و ۲۸۲/۲۵ کیلومترمربع معادل ۲۷/۲۵ درصد در پهنه کم خطر قرار دارد. ۲۷۳/۲۹ کیلومترمربع معادل ۲۶/۳۳ درصد در پهنه متوسط، ۲۳۳/۲۰ کیلومترمربع معادل ۲۲/۴۷ درصد در پهنه زیاد خطر زلزله و همچنین ۹۸/۳۲۰ کیلومترمربع از کل شهرستان معادل ۹/۴۷ در پهنه بسیار زیاد از خطر زلزله قرار دارد. نتایج حاصل از خطر زلزله نشان داد که شهر باشت بر روی پهنه با خطر بالای زلزله قرار دارد. تحلیل فضایی میزان آسیب‌پذیری نقاط روستایی و آبادی‌ها نشان می‌دهد که ۳۲/۹۴ درصد از آبادی‌ها و روستاهای شهرستان باشت در پهنه با خطر خیلی بالا، ۲۳/۵۲ درصد در پهنه با خطر زیاد، ۲۸/۸۲ درصد در پهنه با خطر متوسط و ۱۱/۱۷ درصد از سکونتگاه‌های روستایی و آبادی‌ها در پهنه با خطر کم زلزله قرار دارد. بنابراین، انجام اقدامات لازم از جمله جلوگیری از استقرار، صدور مجوز و ممانعت از ساخت و ساز بر روی گسل‌ها، آگاه‌سازی عمومی در راستای اقدامات پیشگیرانه قبل از وقوع حادث، جلوگیری از استقرار و تمرکز سکونتگاه‌های شهری و روستایی در پهنه‌های با خاطر بالا، برقراری سیستم هشدار و اخطارهای بهموقع در پس لرزه‌های قبل از زلزله، دسترسی تمام سکونتگاه‌های شهری و روستایی به راه‌های ارتباطی و مراکز امداد‌رسان برای دسترسی سریع به مناطق بحرانی پس از وقوع زلزله و... جهت کاهش آسیب‌های جانی و خسارت‌های مالی ناشی از بحران زلزله در مراکز جمعیتی شهرستان باشت امری ضروری بهنظر می‌رسد.
تاریخ دریافت: ۱۴۰۰/۰۶/۲۹	این سکونتگاه‌ها با مخاطرات طبیعی و بحران‌های تکنولوژیک و ازوی‌دیگر با بحران‌های امنیتی و اجتماعی روبرو می‌باشند. این مقاله از نظر هدف، کاربردی و از نظر روش، توصیفی - تحلیلی است. برای گردآوری داده‌ها از سازمان نقشه‌برداری کشور، تصاویر ماهواره‌ای و همچنین برای بررسی و تجزیه و تحلیل داده‌ها از نرم‌افزار ARCGIS، مدل WASPAS و Dimatel استفاده شده است. نتایج حاصل از پژوهش نشان می‌دهد که از مساحت ۱۰۳۷/۶۴ کیلومترمربع شهرستان باشت ۱۵۰/۸۰ کیلومترمربع معادل ۱۴/۵۳ در پهنه بدون خطر و ۲۸۲/۲۵ کیلومترمربع معادل ۲۷/۲۵ درصد در پهنه کم خطر قرار دارد. ۲۷۳/۲۹ کیلومترمربع معادل ۲۶/۳۳ درصد در پهنه متوسط، ۲۳۳/۲۰ کیلومترمربع معادل ۲۲/۴۷ درصد در پهنه زیاد خطر زلزله و همچنین ۹۸/۳۲۰ کیلومترمربع از کل شهرستان معادل ۹/۴۷ در پهنه بسیار زیاد از خطر زلزله قرار دارد. نتایج حاصل از خطر زلزله نشان داد که شهر باشت بر روی پهنه با خطر بالای زلزله قرار دارد. تحلیل فضایی میزان آسیب‌پذیری نقاط روستایی و آبادی‌ها نشان می‌دهد که ۳۲/۹۴ درصد از آبادی‌ها و روستاهای شهرستان باشت در پهنه با خطر خیلی بالا، ۲۳/۵۲ درصد در پهنه با خطر زیاد، ۲۸/۸۲ درصد در پهنه با خطر متوسط و ۱۱/۱۷ درصد از سکونتگاه‌های روستایی و آبادی‌ها در پهنه با خطر کم زلزله قرار دارد. بنابراین، انجام اقدامات لازم از جمله جلوگیری از استقرار، صدور مجوز و ممانعت از ساخت و ساز بر روی گسل‌ها، آگاه‌سازی عمومی در راستای اقدامات پیشگیرانه قبل از وقوع حادث، جلوگیری از استقرار و تمرکز سکونتگاه‌های شهری و روستایی در پهنه‌های با خاطر بالا، برقراری سیستم هشدار و اخطارهای بهموقع در پس لرزه‌های قبل از زلزله، دسترسی تمام سکونتگاه‌های شهری و روستایی به راه‌های ارتباطی و مراکز امداد‌رسان برای دسترسی سریع به مناطق بحرانی پس از وقوع زلزله و... جهت کاهش آسیب‌های جانی و خسارت‌های مالی ناشی از بحران زلزله در مراکز جمعیتی شهرستان باشت امری ضروری بهنظر می‌رسد.
تاریخ ویرایش: ۱۴۰۱/۰۸/۲۳	این سکونتگاه‌ها با مخاطرات طبیعی و بحران‌های تکنولوژیک و ازوی‌دیگر با بحران‌های امنیتی و اجتماعی روبرو می‌باشند. این مقاله از نظر هدف، کاربردی و از نظر روش، توصیفی - تحلیلی است. برای گردآوری داده‌ها از سازمان نقشه‌برداری کشور، تصاویر ماهواره‌ای و همچنین برای بررسی و تجزیه و تحلیل داده‌ها از نرم‌افزار ARCGIS، مدل WASPAS و Dimatel استفاده شده است. نتایج حاصل از پژوهش نشان می‌دهد که از مساحت ۱۰۳۷/۶۴ کیلومترمربع شهرستان باشت ۱۵۰/۸۰ کیلومترمربع معادل ۱۴/۵۳ در پهنه بدون خطر و ۲۸۲/۲۵ کیلومترمربع معادل ۲۷/۲۵ درصد در پهنه کم خطر قرار دارد. ۲۷۳/۲۹ کیلومترمربع معادل ۲۶/۳۳ درصد در پهنه متوسط، ۲۳۳/۲۰ کیلومترمربع معادل ۲۲/۴۷ درصد در پهنه زیاد خطر زلزله و همچنین ۹۸/۳۲۰ کیلومترمربع از کل شهرستان معادل ۹/۴۷ در پهنه بسیار زیاد از خطر زلزله قرار دارد. نتایج حاصل از خطر زلزله نشان داد که شهر باشت بر روی پهنه با خطر بالای زلزله قرار دارد. تحلیل فضایی میزان آسیب‌پذیری نقاط روستایی و آبادی‌ها نشان می‌دهد که ۳۲/۹۴ درصد از آبادی‌ها و روستاهای شهرستان باشت در پهنه با خطر خیلی بالا، ۲۳/۵۲ درصد در پهنه با خطر زیاد، ۲۸/۸۲ درصد در پهنه با خطر متوسط و ۱۱/۱۷ درصد از سکونتگاه‌های روستایی و آبادی‌ها در پهنه با خطر کم زلزله قرار دارد. بنابراین، انجام اقدامات لازم از جمله جلوگیری از استقرار، صدور مجوز و ممانعت از ساخت و ساز بر روی گسل‌ها، آگاه‌سازی عمومی در راستای اقدامات پیشگیرانه قبل از وقوع حادث، جلوگیری از استقرار و تمرکز سکونتگاه‌های شهری و روستایی در پهنه‌های با خاطر بالا، برقراری سیستم هشدار و اخطارهای بهموقع در پس لرزه‌های قبل از زلزله، دسترسی تمام سکونتگاه‌های شهری و روستایی به راه‌های ارتباطی و مراکز امداد‌رسان برای دسترسی سریع به مناطق بحرانی پس از وقوع زلزله و... جهت کاهش آسیب‌های جانی و خسارت‌های مالی ناشی از بحران زلزله در مراکز جمعیتی شهرستان باشت امری ضروری بهنظر می‌رسد.
تاریخ پذیرش: ۱۴۰۱/۰۹/۰۳	این سکونتگاه‌ها با مخاطرات طبیعی و بحران‌های تکنولوژیک و ازوی‌دیگر با بحران‌های امنیتی و اجتماعی روبرو می‌باشند. این مقاله از نظر هدف، کاربردی و از نظر روش، توصیفی - تحلیلی است. برای گردآوری داده‌ها از سازمان نقشه‌برداری کشور، تصاویر ماهواره‌ای و همچنین برای بررسی و تجزیه و تحلیل داده‌ها از نرم‌افزار ARCGIS، مدل WASPAS و Dimatel استفاده شده است. نتایج حاصل از پژوهش نشان می‌دهد که از مساحت ۱۰۳۷/۶۴ کیلومترمربع شهرستان باشت ۱۵۰/۸۰ کیلومترمربع معادل ۱۴/۵۳ در پهنه بدون خطر و ۲۸۲/۲۵ کیلومترمربع معادل ۲۷/۲۵ درصد در پهنه کم خطر قرار دارد. ۲۷۳/۲۹ کیلومترمربع معادل ۲۶/۳۳ درصد در پهنه متوسط، ۲۳۳/۲۰ کیلومترمربع معادل ۲۲/۴۷ درصد در پهنه زیاد خطر زلزله و همچنین ۹۸/۳۲۰ کیلومترمربع از کل شهرستان معادل ۹/۴۷ در پهنه بسیار زیاد از خطر زلزله قرار دارد. نتایج حاصل از خطر زلزله نشان داد که شهر باشت بر روی پهنه با خطر بالای زلزله قرار دارد. تحلیل فضایی میزان آسیب‌پذیری نقاط روستایی و آبادی‌ها نشان می‌دهد که ۳۲/۹۴ درصد از آبادی‌ها و روستاهای شهرستان باشت در پهنه با خطر خیلی بالا، ۲۳/۵۲ درصد در پهنه با خطر زیاد، ۲۸/۸۲ درصد در پهنه با خطر متوسط و ۱۱/۱۷ درصد از سکونتگاه‌های روستایی و آبادی‌ها در پهنه با خطر کم زلزله قرار دارد. بنابراین، انجام اقدامات لازم از جمله جلوگیری از استقرار، صدور مجوز و ممانعت از ساخت و ساز بر روی گسل‌ها، آگاه‌سازی عمومی در راستای اقدامات پیشگیرانه قبل از وقوع حادث، جلوگیری از استقرار و تمرکز سکونتگاه‌های شهری و روستایی در پهنه‌های با خاطر بالا، برقراری سیستم هشدار و اخطارهای بهموقع در پس لرزه‌های قبل از زلزله، دسترسی تمام سکونتگاه‌های شهری و روستایی به راه‌های ارتباطی و مراکز امداد‌رسان برای دسترسی سریع به مناطق بحرانی پس از وقوع زلزله و... جهت کاهش آسیب‌های جانی و خسارت‌های مالی ناشی از بحران زلزله در مراکز جمعیتی شهرستان باشت امری ضروری بهنظر می‌رسد.

استناد: غضنفرپور، حسین، حسینی خواه، حسین، کمالی باگراهی، اسماعیل. (۱۴۰۲). تحلیل ریسک و آسیب‌پذیری لرزه‌ای سکونتگاه‌های انسانی شهرستان باشت با استفاده از مدل دیماتل فازی و Gis. *مخاطرات محیط طبیعی*, ۳۵(۱۲)، ۲۱-۳۶. DOI: 10.22111/jneh.2022.39945.1845.



© حسین غضنفرپور*, حسین حسینی خواه، اسماعیل کمالی باگراهی.

ناشر: دانشگاه سیستان و بلوچستان

مقدمه

وقوع زمین‌لرزه در یک منطقه، یک پدیده پیچیده‌ای است که فرآیندهای زمانی- مکانی در مقیاس‌های مختلف را در بر می‌گیرد (Zhou et al, 2017) که ساخت‌وسازها در نزدیک این گسل‌ها، دارای خطر لرزه‌خیزی بسیار بالایی هستند (Tielin et al, 2017). در واقع، بیشتر خسارت فیزیکی و اقتصادی چنین حوادثی نتیجه نبود برنامه‌ریزی و ضعف در استانداردهای ساختمانی و زیرساخت‌ها است (Linares et al. 2012). به‌طوری‌که تخمین زده می‌شود حدود ۹۵ درصد کل قربانی‌های بلایای طبیعی در دنیا در کشورهای در حال توسعه می‌باشد (Kreimer, 2003). بنابراین، ارزیابی آسیب‌پذیری لرزه‌ای یک شهر نیز از موضوع‌های مهم و اساسی محسوب می‌شود. به عبارت دیگر، ریسک ترکیبی از خطر و آسیب‌پذیری است و از آنجایی که آسیب‌پذیری ممکن است صورت‌های گوناگونی همچون آسیب‌پذیری جانی، عملکردی، اجتماعی، مالی و یا ایمنی را به خود بگیرد، تخمین برآورد ریسک نیاز به رهیافتی جامع‌نگر دارد و لازم است تا در آن از روش‌ها، معیارها و تخصص‌های گوناگونی استفاده گردد تا بتوان کاهش خطرات، جلوگیری از آسیب‌پذیری و مدیریت بحران در بلایا و خطرات طبیعی از جمله زلزله را موردمطالعه و بررسی قرار داد. همچنین، به‌نوعی برقراری این ارتباط‌ها به مثابه ابزاری در کاهش آسیب‌پذیری شهرها و تهیه برنامه‌ها و تقلیل خسارت عمل می‌کند (ملکی و همکاران، ۱۳۹۲). در این میان، گستره جغرافیایی کشور ایران از جمله مناطق حادثه‌خیز است که بسیاری از بلایای طبیعی چون زمین‌لرزه، سیل، طوفان، خشک‌سالی، فعالیت‌های آتش‌نشانی و بیابان‌زایی، نمونه‌هایی از تاریخ حادثه‌خیز دور و نزدیک آن می‌باشد که همه‌ساله و قوی این حوادث موجب خسارت‌های جانی و مالی فراوان می‌شود (قبری و همکاران، ۱۳۹۲).

بر اساس گزارش دفتر برنامه‌ریزی سازمان ملل متحد در سال ۲۰۰۲ میلادی، ایران در میان دیگر کشورهای جهان، رتبه نخست را از نظر تعداد زلزله‌هایی با شدت بالای ۵/۵ ریشتر در سال دارد و یکی از بالاترین رتبه‌ها را در زمینه آسیب‌پذیری ناشی از وقوع زلزله و تعداد تلفات این سانحه به خود اختصاص داده است (UNDP, 2016). از این‌رو، کشور ایران به عنوان بخشی از کمرنگ کوه‌زایی آلپ - هیمالیا همواره از زلزله‌خیزی بالایی برخوردار بوده است، به‌طوری‌که از هر ۱۵۳ زلزله مخبری که در دنیا اتفاق افتاده، ۱۷/۶ درصد آن مربوط به ایران بوده است. در واقع، کشور ایران در ردیف ۱۳ کشور بلاخیز دنیا می‌باشد و زلزله مسبب بیشترین تلفات انسانی آن می‌باشد. بنابراین، می‌توان گفت اکثر شهرهای ایران در برابر خطر زلزله آسیب‌پذیر هستند (نصیری، ۱۳۹۷: ۲).

در این میان در شهرستان باشت و به‌تیغ آن سکونتگاه‌های شهری و روستایی این شهرستان، به‌دلیل وجود خطوط گسل، وجود بافتی فرسود، سابقه برخورداری از نقاط لرزه‌خیز و زلزله، عدم توجه به رعایت استانداردهای ساخت‌وساز و ... ضرورت دارد تا با انجام مطالعات لرزه‌خیزی از جمله تحلیل ریسک، اقدامات بهینه و مؤثر در جهت کاهش خسارت‌ها و کاهش آسیب‌پذیری جانی و مالی فراهم شود. از این‌رو، هدف اصلی این پژوهش، ارزیابی میزان آسیب‌پذیری سکونتگاه‌های شهری و روستایی شهرستان باشت در برابر خطر زلزله است. اهداف فرعی این پژوهش را می‌توان مشتمل بر موارد زیر دانست:

- پنهان‌بندی بخش بوستان و مرکزی شهرستان باشت در برابر خطر زلزله
- ارائه راهبردها و استراتژی‌هایی برای کاهش خسارت‌های جانی و مالی در برابر بحران زلزله

داده‌ها و روش‌ها

این پژوهش از نظر هدف، کاربردی و از نظر روش، توصیفی - تحلیلی است. جامعه آماری پژوهش، کل محدوده شهرستان باشت بر اساس تقسیمات کشوری می‌باشد. برای جمع‌آوری و گردآوری داده‌ها و لایه‌های اطلاعاتی پژوهش، از تصاویر ماهواره‌ای، نرمافزار گوگل ارث، سازمان زمین‌شناسی آمریکا و برای تجزیه و تحلیل نهایی داده‌ها و اطلاعات از نرمافزار تحلیل‌گر فضایی ARG GIS و مدل WASPAS و DemateL استفاده شده است.

در ابتدا، برای شناسایی پهنه‌های مستعد خطر زلزله در شهرستان باشت به تهیه متغیرهای تأثیرگذار در وقوع خطر زلزله پرداخته شد. بنابراین، برای شناسایی متغیرهای تأثیرگذار در وقوع خطر زلزله از نظرات متخصصان و خبرگانی که در ارتباط با موضوع زلزله آشناست و تسلط کافی را داشتند، استفاده گردید. از این‌رو، در مرحله اول، طبق نظرات متخصصان و همچنین با بررسی پژوهش‌های صورت گرفته شده، مهم‌ترین متغیرهای تأثیرگذار در وقوع خطر زلزله عبارت‌اند از: خطوط گسل - نقاط لرزه‌خیز - زمین‌شناسی - کاربری اراضی - سکونتگاه‌های شهری و روستایی - راه‌های ارتباطی - شب - جهت شب.

در مرحله دوم، بعد از شناسایی متغیرها، به تهیه نقشه‌ها و لایه‌های جی. ای. اس. اقدام گردید و برای گردآوری نقشه‌ها و لایه‌های مکانی و فضایی مرتبط با پژوهش (نقشه‌ها و لایه‌های جی. ای. اس) از منابع متعددی از جمله تصاویر ماهواره‌ای، نرمافزار گوگل ارث، سازمان‌های دولتی و خصوصی ایران و همچنین سازمان زمین‌شناسی آمریکا استفاده شد (جدول ۱ و ۲). همچنین بعضی از نقشه‌ها و لایه‌های اطلاعاتی تأثیرگذار در وقوع خطر زلزله از جمله (لایه شب - لایه جهت شب) توسط نویسنده‌انجام گردید (جدول ۱)، بعد از گردآوری نقشه‌ها و لایه‌های مکانی و فضایی مرتبط با پژوهش، به همسان‌سازی و تغییردادن و ثابت‌کردن مقیاس نقشه‌ها در نرمافزار جی. ای. اس. اقدام گردید که مقیاس تمام نقشه‌ها به مقیاس ۱:۲۰۰۰۰۰ تغییر کرد. مقدار خطای ترسیم در نقشه‌ها ۰/۲ میلی‌متر می‌باشد که با ضرب این عدد در عدد مقیاس، مقدار حداقل طول قابل نمایش بر روی نقشه با مقیاس مربوطه مشخص می‌گردد. بنابراین، در نقشه ۱:۲۰۰۰۰۰ دقت مطلق جانمایی یا به عبارتی حداقل طول قابل نمایش بر روی نقشه برابر ۴۰ متر محاسبه می‌شود.

جدول ۱: نوع و منبع اخذ لایه‌های مکانی جهت سنجش شدت آسیب‌پذیری مراکز جمعیتی شهرستان باشت

ردیف	پارامتر	نوع لایه	منبع اخذ لایه	مقیاس	دقیق جانمایی
۱	خطوط گسل	Vector	مرکز لرزه‌نگاری ایران	۱:۲۰۰۰۰۰	۴۰ متر
۲	نقاط لرزه‌خیز	Vector	نرمافزار Google Earth		
۳	زمین‌شناسی	Vector	سازمان زمین‌شناسی و اکتشافات معدنی ایران		
۴	کاربری اراضی	Vector	سازمان منابع طبیعی ایران		
۵	سکونتگاه‌های جمعیتی	Vector	وزارت کشور		
۶	راه‌های ارتباطی	Vector	وزارت راه و شهرسازی		
۷	شب	Raster	Extracted from Layer Height		
۸	جهت شب	Raster	Extracted from Layer Height		

در مرحله سوم، به وزن‌دهی هر یک از متغیرهای تأثیرگذار در وقوع خطر زلزله از جمله (خطوط گسل - نقاط لرزه‌خیز - زمین‌شناسی - کاربری اراضی - سکونتگاه‌های شهری و روستایی - راه‌های ارتباطی - شب و جهت شب) با

استفاده از فن دیماتل اقدام گردید (جدول ۳). بر اساس فن دیماتل، وزن‌های زبانی به دست آمده از پرسشنامه به اعداد فازی تبدیل گردید و سپس اعداد فازی، دیفارزی و درنهایت با استفاده از مدل دیماتل با توجه به اطلاعات جمع‌آوری شده، میزان اثر هر کدام از معیارها تعیین و همچنین اثربودیری یا اثرگذاری آن‌ها محاسبه شده است. فن دیماتل که از انواع روش‌های تصمیم‌گیری بر پایه مقیاسات زوجی می‌باشد، با بهره‌مندی از قضاوت خبرگان در استخراج عوامل یک سیستم و ساختاردهی سیستماتیک به آن‌ها، توسط به کارگیری اصول تئوری گراف‌ها، ساختار سلسله‌مراتبی از عوامل موجود در سیستم، همراه با روابط تأثیرگذاری و تأثیرپذیری متقابل عناصر یادشده به دست می‌آید. به‌گونه‌ای که شدت عوامل یادشده و اهمیت آن‌ها را به صورت امتیاز عددی تعیین می‌کند (LI et al, 2009). فن دیماتل توسط مؤسسه Battelle Memorial (Battelle Memorial) بین سال‌های ۱۹۷۶ و ۱۹۷۲ ایجاد شد و برای مطالعه و حل مسائل پیچیده و درهم تنیده مورد استفاده قرار گرفت و با این هدف معرفی شد که استفاده مناسب از روش‌های پژوهش علمی، می‌تواند ساختار پیچیده مسائل را بهبود بخشد و در شناسایی راه حل‌های عملی با ساختار سلسله‌مراتبی مشارکت نماید (Shieh, Wu, Huang, 2010).

فن دیماتل مبتنی بر نمودارهایی است که می‌توانند مؤلفه‌های دخیل را به دو گروه علت و معلول تفکیک نمایند. این نمودارها رابطه وابستگی میان عناصر یک سیستم را به تصویر می‌کشند. نمودار علی با ترسیم زوجهای مرتب ($Dk + Rk, Dk - Rk$) حاصل می‌شود که در آن محور افقی ($D + R$) به نام برتری با اضافه کردن Rk به Dk و محور عمودی به نام ($D-R$) به نام رابطه با تفریق Rk از Dk ساخته می‌شود.

مراحل تشکیل‌دهنده مدل دیماتل به شرح زیر می‌باشد:

-گام اول: تشکیل ماتریس تصمیم‌گیری

برای بررسی معیارها، از نظرات کارشناسان استفاده شده که مقایسه زوجی هر خبره را نشان می‌دهد. در این ماتریس‌ها، (l_{ij}, m_{ij}, u_{ij}) اعداد فازی مثلثی می‌باشند و $(i = 1, 2, 3, \dots, n, j = 1, 2, 3, \dots, p)$ به صورت عدد فازی $(0, 0, 0)$ در نظر گرفته می‌شوند. برای درنظر گرفتن نظر همه خبرگان، طبق فرمول ۱ از آن‌ها میانگین حسابی گرفته می‌شود.

$$\tilde{z} = \frac{\tilde{x}^1 \oplus \tilde{x}^2 \oplus \tilde{x}^3 \oplus \dots \oplus x^p}{p}$$

در این فرمول P تعداد خبرگان و \tilde{x}^p به ترتیب ماتریس مقایسه زوجی خبره ۱، خبره ۲ و خبره P می‌باشد و \tilde{z} عدد فازی مثلثی به صورت $(l'_{ij}, m'_{ij}, u'_{ij})$ است.

-گام دوم: نرمال‌سازی یا شدت نسبی روابط مستقیم

برای نرمال‌یزه کردن ماتریس به دست آمده از فرمول‌های ۲ و ۳ استفاده می‌کنیم.

$$\tilde{H}_{ij} = \frac{\tilde{z}_{ij}}{r} = \left(\frac{l'_{ij}}{r}, \frac{m'_{ij}}{r}, \frac{u'_{ij}}{r} \right) = (l''_{ij}, m''_{ij}, u''_{ij})$$

فرمول (۳): که R از رابطه زیر به دست آمده می‌آید:

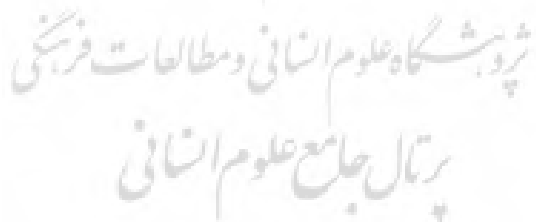
-گام سوم: ماتریس روابط کل یا شدت روابط مستقیم و غیرمستقیم

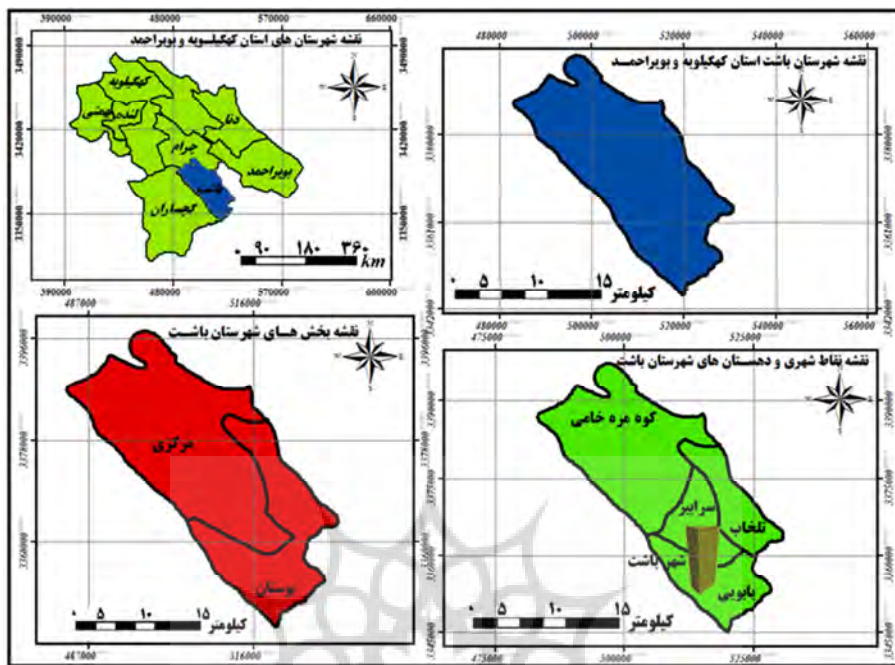
در مرحله چهارم، پس از وزن‌دهی هر یک از متغیرهای تأثیرگذار در خطر وقوع زلزله، به تکمیل کلاس‌بندی وزن‌های هر معیار یا لایه اطلاعاتی در نرم‌افزار تحلیلگر فضایی جی. ای. اس پرداخته و وزن مخصوص برای هر زیر معیار محاسبه (جدول ۴) و وزن محاسبه شده برای هر زیر معیار در نرم‌افزار تحلیلگر فضایی جی. ای. اس تعریف شد. پس از

تمکیل کلاس‌بندی، وزن‌های هر معیار یا لایه اطلاعاتی با فن دیمتل (DEMATEL) محاسبه گردید. به این صورت که ابتدا جمع اهمیت لایه‌ها، استخراج و از تقسیم اهمیت هر لایه بر جمع کل، وزن تک لایه‌ها محاسبه شد. بعد از وزن‌دهی به هر زیر معیار با استفاده از دستورات مشخص شده، تمام لایه‌های موردنظر به Raster تبدیل و سپس لایه‌ها با دستور Fuzzy Membership فازی‌سازی و درنهایت با استفاده از دستور Weighted Sum، تمام لایه بر اساس وزن تعریف شده، همپوشانی شدند. به طوری که لایه‌های رستری به ترتیب Reclassify و سپس بر اساس اینکه با فاصله از نقاط ویکتوری تناسب پیکسل‌ها کمتر یا بیشتر می‌شود، ارزش‌های جدید به کلاس‌ها داده شد. در مرحله نهایی، برای دستیابی به نقشه نهایی و اتخاذ تصمیم و به عبارتی برای مشخص شدن پهنه‌های نهایی مستعد خطر زلزله، لایه‌های اطلاعاتی که در مراحل قبل با استفاده از فن دیمتل (DEMATEL) و نرم‌افزار جی.ای.اس وزن‌دهی شده بودند، در نرم‌افزار GIS باهم ترکیب شدند. هر یک از لایه‌های مربوطه در ستون معیار جدول بالا با وزن‌های خود که در ستون وزن نوشته شده ضرب و باهم دیگر جمع و نقشه نهایی پهنه‌بندی خطر زلزله در مراکز جمعیتی شهرستان باشت تولید و استخراج گردید (شکل ۲). در نقشه نهایی، پهنه‌هایی با رنگ قرمز دارای خطر لرزاگی بالاتری هستند.

قلمرو پژوهش

شهرستان باشت از شهرستان‌های ایران در استان کهگیلویه و بویراحمد می‌باشد. مرکز این شهرستان، شهر باشت و جمعیت این شهرستان در سال ۱۳۹۵ برابر با ۲۱۶۹۰ نفر بوده است. تعداد شهرهای این شهرستان در سال ۱۳۹۵، یک شهر از جمله شهر باشت و همچنین دارای دو بخش به نام بخش مرکزی و بخش بوستان و ۴ دهستان است.





شکل ۱: موقعیت جغرافیایی شهرستان باشت

یافته‌ها

در این پژوهش به منظور ارزیابی و بررسی میزان پهنگ‌های آسیب‌پذیر شهرستان باشت، از ۱۱ لایه اصلی استفاده شده است. در این راستا، ابتدا معیارهای مؤثر در پهنگ‌بندی خطر زلزله که عبارت‌اند از: خطوط گسل، نقاط زلزله‌خیز، وضعیت زمین‌شناسی، سکونتگاه‌های شهری و روستایی، کاربری اراضی، شیب، مقاومت خاک، جهت شیب (پورخسروانی و همکاران، ۱۳۹۷؛ رحیمی و همکاران، ۱۳۹۶؛ رنگزن و همکاران، ۱۳۹۵؛ کریمی و همکاران، ۱۳۹۶؛ امین زاده و همکاران، ۱۳۹۰؛ حسینی خواه و همکاران، ۱۳۹۹) با استفاده از مطالعات کتابخانه‌ای و نظرخواهی از متخصصان امر شناسایی شده‌اند و سپس با استفاده از مدل Dematel، تأثیر هر معیار و زیر معیار مشخص شده است که به اختصار به نقش هر کدام از این متغیرها در ایجاد خطر زلزله پرداخته می‌شود.

گسل: خطوط گسل، مهم‌ترین عامل ایجاد زلزله هستند که توانایی‌های لرزه‌ای متفاوتی دارند و زلزله‌های کوچک و بزرگی را ایجاد می‌کنند (پورخسروانی و همکاران، ۱۳۹۷: ۱). به طوری که هر چه سکونتگاه‌های جمعیتی از مرکز خطوط گسل فاصله بیشتری داشته باشند، از شدت آسیب‌پذیری کاسته خواهد شد. بنابراین، در شاخص وجود گسل، با توجه به عبور خطوط گسل از بخش در بخش غربی شهرستان باشت، این منطقه توانایی‌های لازم جهت وقوع زمین‌لرزه‌های با شدت بالا را دارد.

لیتوولوژی (سنگ‌شناسی): تنوع سنگ‌شناسی در سازندهای سنگی منطقه از دیدگاه لرزه‌خیزی حائز اهمیت است؛ زیرا که وجود کنگلومرات و ماسه‌سنگ سازند بختیاری و سنگ‌های کربناته سازندی آسماری، تاربور، فهلیان و داریان با داشتن رفتاری شکننده و سازند شیلی، گورپی، رازک، پابده و ... با دارا بودن رفتاری شکل‌پذیر به ترتیب در افزایش و کاهش اثرت تخریبی زمین‌لرزه‌ها نقش اساسی دارند. شکل‌پذیری در سازند گورپی، رازک و پابده که با استهلاک

انرژی زمین‌لرزه همراه است، شدت خطر ناشی از وقوع احتمالی زمین‌لرزه را کاهش می‌دهد. ولی سازندهای سخت همچون بختیاری، آسماری، تاربور، فهیان و داریان به دلیل شکنندگی خود خسارت‌های زیادی را به بار خواهند آورد (رحمی و همکاران، ۱۳۹۶: ۱۱۳). در شاخص لیتولوژی شهرستان باشت، مطالعات نشان می‌دهد که در بخش مرکزی، توسعه مراکز جمعیتی بر روی سری زمین‌شناسی سست‌تر (شن و ماسه)، باعث تشدید توان موج لردهای می‌شود.

تراکم جمعیتی و ساختمانی: این شاخص به معنی جمعیت در واحد سطح و مشخص‌کننده بار جمعیتی در موقع زلزله است و با افزایش میزان این شاخص، آسیب‌پذیری ناشی از زلزله افزایش خواهد یافت. همچنین هرچه تراکم ساختمانی در یک منطقه بیشتر باشد، آسیب‌پذیری جانی و مالی بالاتر خواهد بود (رنگن و همکاران، ۱۳۹۵: ۴۷). از این‌رو با توجه به تراکم بیشتر سکونتگاه‌های شهری و روستایی در بخش جنوبی و جنوب شرقی شهرستان باشت، آسیب‌پذیری جانی و مالی ناشی از بحران زلزله در جهات شرقی و جنوبی بیشتر است.

دسترسی: جاده‌ها و خطوط ارتباطی، شریان‌های حیاتی شهرها می‌باشند و اهمیت آن‌ها در امدادرسانی در موقع بروز مخاطرات و بهویژه زلزله نمود شایانی می‌یابد. به همین دلیل هر چه دسترسی به جاده‌های اصلی کمتر باشد، میزان تلفات بیشتر شده، چراکه امکان امدادرسانی به این مناطق محدود می‌گردد (کریمی و همکاران، ۱۳۹۶: ۱۹). از این‌رو، با توجه به دسترسی بهتر بخش جنوبی شهرستان باشت به راههای ارتباطی درجه‌یک، آسیب‌پذیری جانی و مالی ناشی از بحران زلزله در بخش جنوبی شهرستان کمتر است.

کاربری اراضی: در شاخص کاربری اراضی، نوع و جنس زمین در تأثیر پرشدت امواج مخرب دخالت دارد. بنابراین، به مناطق شهری بیشترین امتیاز و به کاربری‌های باغ و پوشش گیاهی کم و متوسط کمترین امتیاز داده شده است (کریمی و همکاران، ۱۳۹۶: ۱۹). در شهرستان باشت با قرارگیری مراکز جمعیتی بر روی صخره در بخش شمالی، از شدت آسیب‌پذیری کاسته و با قرارگیری مراکز جمعیتی بر روی پوشش گیاهی در بخش شرقی، شدت آسیب‌پذیری افزایش پیدا می‌کند.

شیب: هر چه میزان شیب در یک ناحیه بیشتر باشد، میزان آسیب‌پذیری آن ناحیه بیشتر خواهد شد (امین زاده و همکاران، ۱۳۹۰: ۶). از این‌رو، در مناطق شمالی شهرستان باشت، شیب‌های تندي وجود دارد که گسترش مراکز جمعیتی به این سمت موجب استقرار مراکز بر روی شیب‌های تن شده است؛ به‌طوری‌که میزان آسیب‌پذیری مراکز جمعیتی در شیب‌های تن در برابر بحران زلزله افزایش پیدا می‌کند.

جهت شیب: نواحی شمال، غرب و شمال غرب سکونتگاه‌های جمعیتی به دلیل دریافت بارش بیشتر و رطوبت بالاتر تأثیر بیشتری در هوازدگی و در نتیجه بحران زلزله دارند (حسینی خواه و همکاران، ۱۳۹۹: ۹). بنابراین جهت شیب به صورت هموار و جنوبی در بخش جنوبی شهرستان، باعث افزایش آسیب‌پذیری و افزایش تابآوری سکونتگاه‌های جمعیتی در برابر بحران زلزله خواهد شد.

کانون‌های لردهای خیز: در شاخص نقاط لردهای خیز، لردهای که تا ۲ هزار متری کانون‌های زلزله‌های رخداده هستند، مقاومت بسیار کمتری در برابر انرژی آزادشده زلزله خواهند داشت و با فاصله‌گرفتن از کانون‌های زلزله، از شدت

آسیب‌پذیری کاسته خواهد شد (حسینی خواه و همکاران، ۱۳۹۹: ۹). به طوری که در شهرستان باشت از فاصله ۱۶۰۰ متری به بعد نسبت به کانون زلزله، میزان آسیب‌پذیری جانی و مالی بسیار کمتر خواهد بود.

در جدول ذیل، معیارهای پژوهش بیان شدند (جدول ۲) :

جدول ۲: معیارهای پژوهش

C ₈	C ₇	C ₆	C ₅	C ₄	C ₃	C ₂	C ₁	علامت اختصاری
شاخص	گسل	شیب	راه	زمین‌شناسی	نقاط لرزه‌خیز	جهت شیب	مراکز سکونتگاهی	کاربری اراضی

بعد از تشکیل ماتریس تصمیم‌گیری، داده‌ها و اطلاعات مورد نیاز از طریق مدل دیماتل فازی محاسبه و مورد پردازش قرار می‌گیرند. پس از تشكیل ماتریس تصمیم‌گیری و انجام مراحل مدل، به محاسبه ماتریس روابط نهایی پرداخته می‌شود. جدول ۳ ماتریس روابط نهایی را نشان می‌دهد.

جدول ۳: ماتریس روابط نهایی

شاخص	C ₁	C ₂	C ₃	C ₄	C ₅
C ₁	(۰/۰۷۱۰/۱۲۴۰/۱۸۹)	(۰/۱۴۳۰/۱۹۸۰/۲۶۰)	(۰/۱۶۰۰/۲۰۶۰/۲۶۹)	(۰/۱۹۳۰/۲۲۴۰/۲۹۴)	(۰/۱۹۵۰/۲۲۸۰/۳۰۱)
C ₂	(۰/۰۷۶۰/۱۱۳۰/۱۷۱)	(۰/۰۷۲۰/۱۰۴۰/۱۵۱)	(۰/۱۶۷۰/۲۰۳۰/۲۵۵)	(۰/۱۶۹۰/۲۰۵۰/۲۵۹)	(۰/۱۷۰۰/۲۱۴۰/۲۷۳)
C ₃	(۰/۱۲۵۰/۱۷۲۰/۲۳۸)	(۰/۰۷۰۰/۱۰۲۰/۱۵۱)	(۰/۰۷۲۰/۱۰۳۰/۱۵۱)	(۰/۱۵۶۰/۱۹۲۰/۲۵۱)	(۰/۱۵۳۰/۱۹۵۰/۲۵۶)
C ₄	(۰/۲۲۲۰/۱۶۶۰/۲۳۰)	(۰/۱۳۴۰/۱۶۹۰/۲۱۹)	(۰/۰۷۸۰/۱۰۸۰/۱۵۶)	(۰/۰۸۳۰/۱۱۳۰/۱۶۱)	(۰/۱۷۲۰/۲۰۸۰/۲۶۲)
C ₅	(۰/۱۲۳۰/۱۶۴۰/۲۲۶)	(۰/۱۲۷۰/۱۶۱۰/۲۰۹)	(۰/۱۳۸۰/۱۷۳۰/۴۲۰)	(۰/۰۸۶۰/۱۱۷۰/۱۶۴)	(۰/۰۹۲۰/۱۱۳۰/۱۶۲)
C ₆	(۰/۰۹۴۰/۱۳۷۰/۱۹۷)	(۰/۱۰۱۰/۱۳۹۰/۱۸۴)	(۰/۱۲۰۰/۱۵۸۰/۲۰۹)	(۰/۱۳۴۰/۱۶۸۰/۲۱۶)	(۰/۱۳۹۰/۱۷۵۰/۲۲۶)
C ₇	(۰/۰۹۲۰/۱۳۱۰/۱۸۶)	(۰/۰۸۹۰/۱۱۹۰/۱۶۱)	(۰/۱۰۸۰/۱۳۶۰/۱۷۹)	(۰/۱۲۴۰/۱۵۵۰/۲۰۰)	(۰/۱۲۴۰/۱۵۷۰/۲۰۲)
C ₈	(۰/۰۵۴۰/۰۸۶۰/۱۲۹)	(۰/۰۶۳۰/۰۸۶۰/۱۲۰)	(۰/۰۵۲۰/۰۷۰۰/۰۹۹)	(۰/۰۸۳۰/۱۰۷۰۰/۱۴۲)	(۰/۰۸۳۰/۱۰۹۰/۱۴۴)
شاخص	۱	۲	۳	۴	۵
C ₁	(۰/۲۰۷۰/۲۵۶۰/۳۲۹)	(۰/۲۰۰۰/۲۶۲۰/۳۲۷)		(۰/۲۳۱۰/۲۸۱۰/۲۵۴)	
C ₂	(۰/۱۹۲۰/۲۳۵۰/۲۹۹)	(۰/۱۹۶۰/۲۴۱۰/۳۰۸)		(۰/۲۰۲۰/۲۴۸۰/۲۱۲)	
C ₃	(۰/۱۶۶۰/۲۱۰۰/۲۸۰)	(۰/۱۸۶۰/۲۲۹۰/۲۹۷)		(۰/۱۹۰۰/۲۲۶۰/۲۰۲)	
C ₄	(۰/۱۷۱۰/۲۱۰۰/۲۷۷)	(۰/۱۷۲۰/۲۱۴۰/۲۸۴)		(۰/۱۹۱۰/۲۳۴۰/۲۹۸)	
C ₅	(۰/۱۶۷۰/۲۰۶۰/۲۷۱)	(۰/۱۶۴۰/۲۱۱۰/۲۷۸)		(۰/۱۸۷۰/۲۳۰۰/۲۹۱)	
C ₆	(۰/۰۸۷۰/۱۱۶۰/۱۶۹)	(۰/۱۵۳۰/۱۹۸۰/۲۶۱)		(۰/۰۷۹۰/۱۰۸۰/۱۵۶)	
C ₇	(۰/۰۸۱۰/۱۱۲۰/۱۶۱)	(۰/۰۷۸۰/۱۱۰۰/۱۶۰)		(۰/۱۷۲۰/۲۰۷۰/۲۶۲)	
C ₈	(۰/۰۹۹۰/۱۲۶۰/۱۶۸)	(۰/۱۰۳۰/۱۳۳۰/۱۷۶)		(۰/۱۵۳۰/۱۹۵۰/۲۵۶)	

در این مرحله اهمیت و تأثیرگذاری تمام شاخص‌ها مورد سنجش و بررسی قرار می‌گیرید، به گونه‌ای که شدت اثر روابط یادشده و اهمیت آن‌ها را به صورت امتیازی عددی معین می‌کند.

جدول ۴: اهمیت و تأثیرگذاری معیارها

معیار	$\tilde{D}_i + \tilde{R}_i$	$\tilde{D}_i - \tilde{R}_i$
C1	(۲/۰۶۹، ۴/۰۳۶، ۵/۴۲۹)	(۰/۰۱، ۱/۱۶۰، ۲/۳۶۰)
C2	(۲/۸۹۴، ۳/۷۱۷، ۴/۷۹۰)	(۰/۰۶۷، ۰/۸۹۸، ۱/۹۲۷)
C3	(۲/۸۴۲، ۳/۶۴۶، ۴/۸۴۶)	(-۰/۳۶۵، ۰/۶۲۵، ۱/۶۷۱)
C4	(۳/۰۱۱، ۳/۷۸۷، ۴/۹۶۰)	(-۰/۵۰۶، ۰/۴۴۰، ۱/۴۴۲)
C5	(۲/۹۷۲، ۳/۷۷۸، ۴/۹۴۵)	(-۰/۶۳۸، ۰/۲۳۲، ۱/۲۲۰)
C6	(۲/۹۵۲، ۳/۷۹۷، ۴/۰۴۳)	(-۱/۱۴۸، -۰/۰۷۶، ۰/۹۴۳)
C7	(۲/۹۸۶، ۳/۷۷۶، ۴/۹۳۱)	(-۱/۳۳۱، -۰/۲۹۵، ۰/۶۹۸)
C8	(۲/۶۷۲، ۳/۳۹۷، ۴/۴۴۵)	(-۱/۹۵۶، -۱/۰۳۱، -۰/۱۷۶)

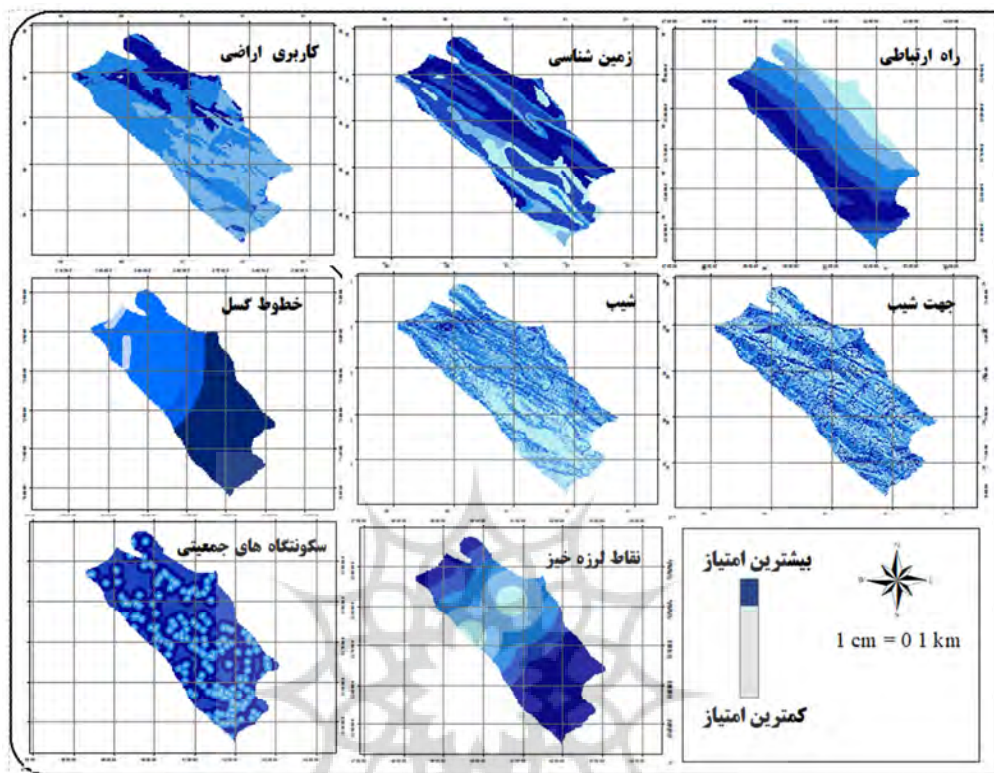
بعد از اهمیت و تأثیرگذاری معیارها، استخراج ضریب یک معیار و ساختاردهی سیستماتیک به آن‌ها توسط به کارگیری اصول تئوری گراف‌ها، ساختار سلسله‌مراتبی از عوامل موجود در معیار، همراه با روابط تأثیرگذاری و تأثیرپذیری متقابل عناصر یادشده در مرحله نهایی به دست می‌آید. همان‌طور که در جدول (شماره ۵) مشاهده می‌شود، به ترتیب بالاترین و کمترین ضریب به دست‌آمده، شاخص فاصله از گسل با وزن ۰/۰۴۱۴ و جهت شیب با وزن ۰/۰۳۴۱ می‌باشد.

جدول ۵: اهمیت و تأثیرگذاری نهایی معیارها

معیار	$(\tilde{D}_i + \tilde{R}_i)^{\text{def}}$	$(\tilde{D}_i - \tilde{R}_i)^{\text{def}}$	وزن نهایی
C1	۴/۱۴۳	۱/۱۷۰	۰/۰۴۱۴
C8	۳/۸۰۲	۰/۹۱۵	۰/۰۳۸۰
C8	۳/۷۴۶	۰/۶۴۰	۰/۰۳۷۴
C4	۳/۸۸۶	۰/۴۵۴	۰/۰۳۸۸
C5	۳/۸۶۷	۰/۳۴۰	۰/۰۳۸۶
C2	۳/۳۸۹	-۰/۰۹۰	۰/۰۳۴۸
C3	۳/۸۲۰	-۰/۳۰۶	۰/۰۳۸۲
C6	۳/۳۸۸	-۰/۰۹۰	۰/۰۳۳۷

تهییه نقشه‌های ارزش‌گذاری لایه‌های اطلاعاتی

لایه‌های اطلاعاتی پژوهش از طریق مدل دیماتل فازی در نرم‌افزار تحلیل گیر فضایی سیستم اطلاعات جغرافیایی ارزش‌گذاری شد؛ به طوری که وزن هر طبقه در هر معیار محاسبه و وزن دهی شد.



شکل ۲: ارزش‌گذاری نهایی لایه‌های اطلاعاتی

تهییه نقشه‌های نهایی ارزش‌گذاری حاصل از لایه‌های اطلاعاتی پژوهش

نتایج حاصل از پژوهش نشان می‌دهد که از مساحت $1037/64$ کیلومتر مربع شهرستان باشت، $150/80$ کیلومتر مربع معادل $14/53$ در پهنه بدون خطر و $282/25$ کیلومتر مربع معادل $27/20$ درصد در پهنه کم خطر قرار دارد. همچنین نتایج پژوهش نشان داد که $273/29$ کیلومتر مربع معادل $26/33$ درصد در پهنه متوسط، $233/20$ کیلومتر مربع معادل $22/47$ درصد در پهنه زیاد خطر زلزله و همچنین $98/320$ کیلومتر مربع از کل شهرستان باشت معادل $9/47$ در پهنه بسیار زیاد از خطر زلزله قرار دارد (جدول ۶).

جدول ۶: مساحت و درصد طبقات خطر زلزله در شهرستان باشت

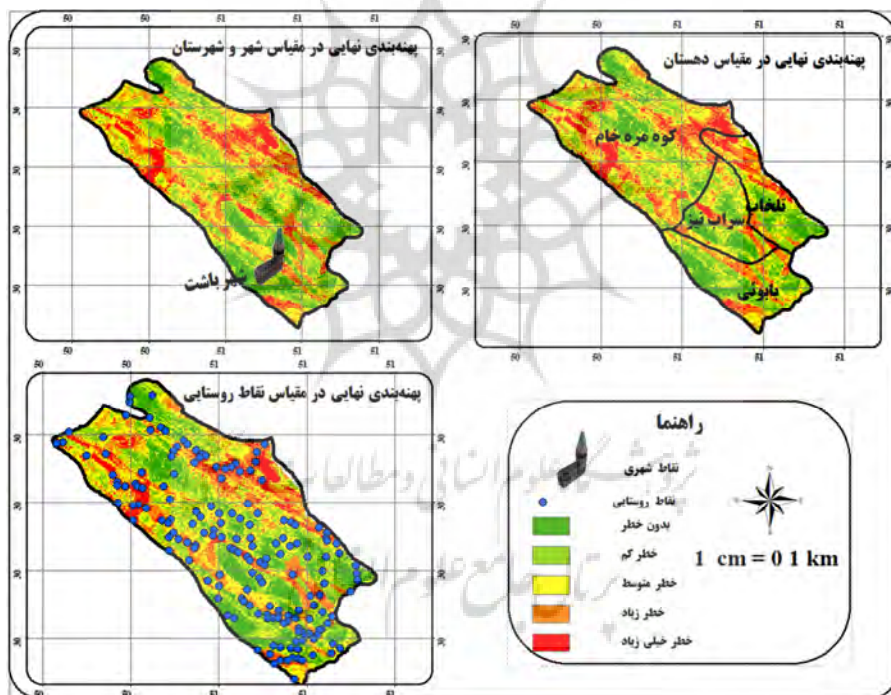
مساحت	بدون خطر	خطر کم	متوسط	زیاد	خیلی زیاد	جمع
$150/80$	$282/25$	$273/29$	$233/20$	$22/47$	$98/320$	$1037/64$
$14/53$	$9/47$	$26/33$	$27/20$	$22/47$	$9/47$	۱۰۰

از مساحت $342/83$ کیلومتر مربع بخش بستان باشت، $68/27$ کیلومتر مربع معادل $19/91$ درصد در پهنه بدون خطر و $103/82$ کیلومتر مربع معادل $30/28$ درصد در پهنه کم خطر زلزله قرار دارد. همچنین $74/31$ کیلومتر مربع از بخش بستان شهرستان باشت در معرض خطر زیاد زلزله و $26/29$ کیلومتر مربع معادل $7/69$ درصد از بخش بستان در پهنه با خطر بسیار بالای زلزله قرار دارد (جدول ۷).

جدول ۷: مساحت و درصد طبقات خطر زلزله در بخش‌های شهرستان باشت

بخش	درصد	مساحت	بدون خطر	خطر کم	متوسط	زیاد	خیلی زیاد	جمع
بوستان	مساحت	۶۸/۲۷	۱۰۳/۸۲	۷۰/۱۳۹	۷۴/۳۱	۲۶/۲۹	۳۴۲/۸۳	۱۰۰
	درصد	۱۹/۹۱	۳۰/۲۸	۲۰/۴۵	۲۱/۶۷	۷/۶۹		۱۰۰
	مساحت	۸۱/۴۰	۱۷۹/۲۴	۲۰۳/۰۷	۱۵۸/۷۵	۷۲	۶۹۴/۴۹	۱۰۰
مرکزی	درصد	۱۱/۷۲	۲۵/۸۰	۲۹/۲۴	۲۲/۸۸	۱۰/۳۶	۷۲	۱۰۰

از مساحت ۶۹۴/۴۹ کیلومتر مربع بخش مرکزی شهرستان باشت، ۸۱/۴۰ کیلومتر مربع معادل ۱۱ درصد در پهنه بدون خطر و ۱۷۹/۲۴ کیلومتر مربع معادل ۲۵/۸۰ درصد در پهنه کم خطر وقوع زلزله قرار دارد. همچنین ۱۵۸/۷۵ کیلومتر مربع از بخش مرکزی در پهنه پر خطر و ۷۲ کیلومتر مربع معادل ۱۰ درصد از بخش مرکزی شهرستان باشت در پهنه بسیار پر خطر قرار دارد (شکل ۳).



شکل ۳: پهنه‌بندی نهایی سکونتگاه‌های شهری و روستایی شهرستان باشت

همچنین نتایج حاصل از خطر زلزله نشان داد که شهر باشت بر روی پهنه با خطر بالا قرار دارد و محدوده‌های اطراف شهر باشت در پهنه‌های با خطر متوسط قرار دارد (جدول ۸).

جدول ۸: تحلیل فضایی خطر زلزله در نقاط شهری شهرستان باشت

نوع	شدت	سکونتگاه‌های شهری	جمعیت	نسبت جمعیت آسیب‌پذیر به کل جمعیت شهرستان
نقاط شهری	زیاد	باشت	۹۲۶	۴۴/۷۵

تحلیل فضایی میزان آسیب‌پذیری نقاط روستایی و آبادی‌های استقراریافته در شهرستان باشت نشان می‌دهد که ۵۶ روستا و آبادی معادل ۳۲۹۴ درصد از آبادی‌ها و روستاهای شهرستان باشت در پهنه با خطر بالا، ۴۰ روستا و آبادی

معادل ۲۳/۵۲ درصد از روستاهای آبادی‌ها در پهنه با خطر زیاد، ۴۹ روستا و آبادی معادل ۲۸/۸۲ درصد در پهنه با خطر متوسط و همچنین ۱۹ روستا معادل ۱۱/۱۷ درصد از سکونتگاه‌های روستایی و آبادی‌ها در پهنه با خطر کم زلزله قرار دارد (جدول ۹).

جدول ۹: تحلیل فضایی خطر زلزله در نقاط روستایی و آبادی شهرستان باشت

نام	نقاط روستا و آبادی	شدت خطر زلزله	تعداد سکونتگاه‌های روستایی	نسبت تعداد روستا و آبادی به کل روستاهای
نقاط روستا و آبادی	بدون خطر	۶	۲/۵۲	۳/۵۲
	خطر کم	۱۹	۱۱/۱۷	۱۱/۱۷
	خطر متوسط	۴۹	۲۸/۸۲	۲۸/۸۲
	خطر زیاد	۴۰	۲۳/۵۲	۲۳/۵۲
	خطر خیلی زیاد	۵۶	۳۲/۹۴	۳۲/۹۴

برنامه‌ریزی راهبردی برای کاهش خسارت‌های جانی و مالی با استفاده از مدل WASPAS در برنامه‌ریزی استراتژیک که به راهبردهای درونی و بیرونی برای کاهش خسارت‌های جانی و مالی اشاره دارد، به بعد مختلفی پرداخته می‌شود که از آن جمله می‌توان به برنامه‌ریزی برای کاهش پیامدهای مخرب ناشی از وقوع بلایا اشاره کرد. راهبردهای مختلفی وجود دارد که می‌توان با اتخاذ آن‌ها در فرآیند برنامه‌ریزی از پیامدهای مخرب بلایا و عوامل خطرآفرین به هنگام بروز بلایا و حوادث غیرمتربقه طبیعی کاست.

در ماتریس ارزیابی نقاط قوت، تراکم پایین جمعیت در سکونتگاه‌های شهری و روستایی، شهر باشت و شهرستان بیشترین وزن را به خود اختصاص داده است.

جدول ۱۰: نقاط قوت شهرستان

ردیف	نقاط قوت	ردیفه
۱	عدم برخورداری منطقه از حوادث بحرانی شدید مانند زلزله	۳
۲	قرارگیری بخش بسیار زیادی از شهرستان در پهنه با خطر کم	۲
۳	تراکم پایین جمعیت در سکونتگاه‌های شهری و روستایی شهر باشت و شهرستان	۱
۴	ارتفاع نسبتاً یکسان و کم واحدهای ساختمانی در بافت شهری باشت	۵
۵	وضعیت مناسب شبی و ارتفاع بهخصوص در شهر باشت	۶
۶	مقاوم بودن صفحه‌ای زمین‌شناسی منطقه در برابر بحران‌های لرزه‌ای	۴

در ارزیابی نقاط ضعف، بیشترین و کمترین عوامل تأثیرگذار به ترتیب، مقاوم نبودن بسیاری از کاربری‌ها و ابنيه در مقابل زلزله و عدم توجه به آموزش‌های عمومی بحران زلزله بین شهروندان و روستاییان است.

جدول ۱۱: نقاط ضعف شهرستان

ردیف	نقطه ضعف	رتبه	Q1	λ
۱	بن‌بست بودن بسیاری از بافت‌های شهری و روستایی و عدم دسترسی سواره به این بافت‌ها	۳	۰/۲۲۰	۰/۸۹۰
۲	مقام نبودن بسیاری از کاربری‌ها و اینیه در مقابل زلزله	۱	۰/۳۶۵	۰/۷۵۶
۳	مجهز نبودن واحدهای مسکونی و ... به تجهیزات ایمنی مانند جعبه کمک‌های اولیه و سیستم اطفاء حریق	۵	۰/۱۰۱	۰/۶۵۳
۴	بالا بودن عمر اینیه و فرسودگی واحدهای مسکونی و فرسوده بودن بافت‌های شهری و روستایی	۲	۰/۳۲۱	۰/۶۹۵
۵	عدم توجه به آموزش‌های عمومی بحران زلزله بین شهروندان و روستاییان	۶	۰/۰۹۰	۰/۹۰۱
۶	نبود برنامه یکپارچه و مدون برای توجه به نقشه راه شهرستان در موقع بحرانی زلزله	۴	۰/۱۸۳	۰/۶۵۳

در ارزیابی نقاط فرست، بیشترین و کمترین عوامل تأثیرگذار به ترتیب، اجرای برنامه‌های نوسازی و بهسازی و توجه ویژه به مدیریت بحران و افزایش آگاهی مردم در مورد مشارکت مدنی از طریق نهادهای ذی‌ربط در مورد اقدامات حین و بعد از بحران برای کاهش خسارت‌ها می‌باشد.

جدول ۱۲: نقاط فرست شهرستان

ردیف	نقطه فرست	رتبه	Q1	λ
۱	استفاده مناسب از فضاهای باز اطراف داخل شهر و درون روستاهای	۴	۰/۱۶۷	۰/۹۰۹
۲	اجرای برنامه‌های نوسازی و بهسازی و توجه ویژه به مدیریت بحران	۱	۰/۳۶۵	۰/۸۹۱
۳	طراحی و استقرار پایگاه‌های هوایی برای امدادرسانی در موقع بحران	۳	۰/۲۵۰	۰/۵۸۰
۴	افزایش آگاهی مردم در مورد مشارکت مدنی از طریق نهادهای ذی‌ربط در مورد اقدامات حین و بعد از بحران برای کاهش خسارت‌ها	۵	۰/۱۳۰	۰/۶۹۵
۵	ساماندهی فضاهای و شریان‌هایی حیاطی برای استفاده در شرایط بحرانی	۲	۰/۲۶۹	۰/۶۹۸

در ارزیابی نقاط تهدید، بیشترین و کمترین عوامل تأثیرگذار عبارت‌اند از: قرارگیری خطوط گسل در درون منطقه با وزن $0/۴۲۰$ و عدم هماهنگی مناسب بین نهادهای مرتبط با بحران با وزن $0/۲۲۳$.

جدول ۱۳: نقاط تهدید شهرستان

ردیف	نقطه تهدید	رتبه	Q1	λ
۱	قرارگیری خطوط گسل در درون منطقه	۱	۰/۴۲۰	۰/۸۷۰
۲	عدم هماهنگی مناسب بین نهادهای مرتبط با بحران	۶	۰/۲۲۳	۰/۴۴۵
۳	ناکارآمد بودن شبکه ارتباطی و مشکل‌ساز بودن معابر کم عرض در هنگام شرایط بحرانی	۵	۰/۳۰۲	۰/۵۶۳
۴	قرارگیری شهر باشت در پهنه پر خطر	۲	۰/۴۰۲	۰/۸۰۵
۵	قرارگیری ۳۰ درصد از شهرستان در پهنه پر خطر	۴	۰/۳۲۰	۰/۷۵۶
۶	قرارگیری رودخانه‌های بسیاری در محدوده‌های شهرستان	۳	۰/۳۹۸	۰/۹۸۶

نتیجه‌گیری

مطالعات تکتونیکی و تاریخی زلزله در ایران نشان می‌دهد که زلزله‌های ویرانگر، در موارد بسیاری سبب خرابی و کشته شدن صدها و گاهی هزاران نفر شده است. در این میان شهرستان باشت و نقاط شهری و روستایی شهرستان

- باشت بهدلیل وجود خطوط گسل، عدم رعایت استاندارهای ساختوساز، برخورداری از نقاط لرزهخیز و ...، ریسک بالایی در برابر خطر زلزله دارد. بنابراین، هدف از این پژوهش، شناسایی میزان آسیب‌پذیری نقاط شهری و روستایی شهرستان و بخش‌های شهرستان باشد در برابر خطر وقوع زلزله است. از این‌رو، نتایج حاصل از پژوهش نشان داد:
- ۱۵۰/۸۰ کیلومتر مربع از شهرستان باشد معادل ۱۴/۵۳ در پهنه بدون خطر و ۲۸۲/۲۵ کیلومتر مربع معادل ۲۷۲/۲۰ درصد در پهنه کم‌خطر قرار دارد.
 - ۲۷۳/۲۹ کیلومتر مربع از مساحت شهرستان باشد معادل ۲۶/۳۳ درصد در پهنه متوسط، ۲۳۳/۲۰ کیلومتر مربع معادل ۲۲/۴۷ درصد در پهنه زیاد وقوع خطر زلزله و همچنین ۹۸/۳۲۰ کیلومتر مربع از کل شهرستان معادل ۹/۴۷ در پهنه بسیار زیاد از خطر زلزله قرار دارد.
 - شهر باشد بر روی پهنه با خطر بالای خطر زلزله قرار دارد و محدوده‌های اطراف شهر باشد در پهنه‌های با خطر متوسط قرار دارد.
 - ۶۸/۲۷ کیلومتر مربع معادل ۱۹/۹۱ درصد از بخش بستان شهرستان باشد در پهنه بدون خطر و ۱۰۳/۸۲ کیلومتر مربع معادل ۳۰/۲۸ درصد در پهنه کم‌خطر زلزله قرار دارد.
 - ۷۴/۳ کیلومتر مربع از بخش بستان شهرستان باشد در معرض خطر زیاد زلزله و ۲۶/۲۹ کیلومتر مربع معادل ۷۱/۶۹ درصد از بخش بستان در پهنه با خطر بسیار بالای زلزله قرار دارد.
 - ۸۱/۴۰ کیلومتر مربع معادل ۱۱ درصد از بخش مرکز شهرستان باشد در پهنه بدون خطر و ۱۷۹/۲۴ کیلومتر مربع معادل ۲۵/۸۰ درصد در پهنه کم‌خطر وقوع زلزله قرار دارد.
 - ۱۵۸/۷۵ کیلومتر مربع از بخش مرکزی شهرستان در پهنه پرخطر و ۷۲ کیلومتر مربع معادل ۱۰ درصد از بخش مرکزی شهرستان باشد در پهنه بسیار پرخطر قرار دارد.
 - ۵۶ روستا و آبادی معادل ۳۲/۹۴ درصد از آبادی‌ها و روستاهای شهرستان باشد در پهنه با خطر خیلی بالا و ۴۰ روستا و آبادی معادل ۲۳/۵۲ درصد از روستاهای آبادی‌ها در پهنه با خطر زیاد زلزله قرار دارد.

پیشنهادها

- ارزیابی ظرفیت باربری، نشست و تغییر شکل پی‌های سطحی و پی‌های عمیق و ارزیابی اندرکنش خاک - پی - سازه در پهنه‌های جغرافیایی شهرستان.
- استفاده از تجربه‌های موفق کشورهای پیشرفت‌ههای زلزله‌خیز جهت مدیریت مطلوب بحران زلزله احتمالی در مناطق شهری و روستایی استان.
- انتقال سکونتگاه‌های روستایی واقع در مناطق با لرزه‌خیزی بالا و کم‌جمعیت به مراکز جمعیتی فاقد خطرپذیری و یا دارای شدت آسیب‌پذیری کم.
- برقراری سیستم هشدار و اخطاریه‌های به موقع در پس‌لرزه‌های قبل از زلزله.

- تجهیز فضاهای شهری و روستایی به امکانات اولیه امدادی (جعبه امداد، مدیریت بحران، ...) با توجه به خصوصیت‌های جمعیتی، کالبدی و اقتصادی مراکز جمعیتی.
- تقویت نیروی انسانی متخصص و گروه‌های پژوهشی کارشناسی جهت مطالعه بلایای طبیعی در مسیرهای اصولی و صحیح و با درک همه‌جانبه از کلیه روابط علت و معلولی موجود.
- تمرکز خدمات و امکانات مرتبط با مدیریت حین و قبل از بحران در شهر باشت و بخش‌ها و مناطق آسیب‌پذیر در برابر زلزله.
- جلوگیری از استقرار، صدور مجوز و ممانعت از ساخت‌وساز بر روی گسل‌ها برای جلوگیری از خسارت جانی و مالی.
- دسترسی تمام سکونتگاه‌های شهری و روستایی به راه‌های ارتباطی و مراکز امدادرسان برای دسترسی سریع به مناطق بحرانی پس از وقوع زلزله.
- مکان‌یابی و توزیع متعادل مراکز خدمات رسان در موقع بحران از جمله اورژانس و مراکز بهداشتی درمانی در تمام مراکز جمعیتی استان مناسب با پهنگ‌بندی خطر نسبی زلزله در استان.
- نصب شتابنگارها و حس‌گرهای مختلف در نقاط متعدد مستعد خطر زلزله جهت کشف لرزش‌های زمین و پیش‌بینی.

منابع

- ابلقی، علیرضا. (۱۳۸۲). جایگاه مرمت اینیه تاریخی در فرآیند مرمت شهری و تجارب سازمان عمران و بهسازی شهری در این زمینه. مجله هفت شهر، شماره ۱۷، صص ۴۳-۳۰.
- سرور، هوشنگ؛ کاشانی اصل، امیر. (۱۳۹۵). ارزیابی آسیب‌پذیری کالبدی شهر اهر در برابر بحران زلزله. فصلنامه آمیش محیط، شماره ۳۴، صص ۱۰۸-۸۷.
- عزیزی، محمدمهردی؛ اکبری، رضا. (۱۳۸۷). ملاحظات شهرسازی در سنجش آسیب‌پذیری شهرها از زلزله. نشریه هنرهای زیبا، شماره ۲، صص ۳۶-۲۵.
- عسگری زاده، زهرا؛ رفیعیان، مجتبی؛ داداش پور، هاشم. (۱۳۹۴). بررسی و تحلیل مدل تجربی رفتارهای کاهش خطر زلزله خانوارهای شهر تهران. مجله مخاطرات محیط طبیعی، سال ۴، شماره ۱۵، صص ۶۰-۳۹.
- قبیری، ابوالفضل؛ ملکی، محمدعلی؛ قاسمی، معصومه. (۱۳۹۲). پهنگ‌بندی میزان آسیب‌پذیری شهرها در مقابل خطر زمین‌لرزه (نمونه موردی: شهر تبریز). مجله جغرافیا و مخاطرات محیطی، شماره ۵، صص ۳۵-۲۱.
- ملکی، سعید؛ مودت، الیاس. (۱۳۹۲). ارزیابی طیف آسیب‌پذیری لزه‌ای در شهرها بر اساس سناریوهای شدت مختلف با استفاده GIS (پژوهش موردی: شهر یزد). جغرافیا و مخاطرات محیطی، شماره ۵، صص ۴۲-۱۲۷.
- مهدوی نژاد، محمدجواد، جوانروodi، کامران. (۱۳۹۱). بررسی آسیب‌پذیری ناشی از زلزله در شبکه‌های ارتباطی تهران بزرگ (مطالعه موردی: خیابان ولی‌عصر شمالی تا چهارراه پارک‌وی). دو فصلنامه مدیریت بحران، شماره ۱، صص ۲۱-۱۳.
- نوروزی، خدیجه؛ امیدوار، بابک؛ ملک محمدی، بهرام. (۱۳۹۲). تحلیل ریسک مخاطرات چندگانه شهری در اثر سیل و زلزله (مطالعه موردی: منطقه بیست تهران). مجله مخاطرات محیط طبیعی، دوره ۲، شماره ۷، صص ۶۸-۵۳.
- پورخسروانی، محسن؛ مهرانی، علی؛ جهانشاهی، زهرا. (۱۳۹۷)، ارزیابی رابطه‌ی شاخص خطوارگی گسل‌ها با لرزه‌خیزی در محدوده خطوط ریلی استان هرمزگان، برنامه‌ریزی فضایی، دوره ۸، شماره ۴، صص ۱۲۴-۱۱۱.

رنگزن، کاظم؛ کابلی زاده، مصطفی؛ کریمی، دانیا؛ نعیمی، ابراهیم. (۱۳۹۵)، پنهان‌بندی خطرپذیری زلزله و مکان‌یابی مناطق امن در زمان مخاطرات طبیعی با استفاده از الگوریتم‌های هوش مصنوعی و GIS (مطالعه موردی: منطقه یک شهرداری کلان‌شهر اهواز)، جغرافیا و برنامه‌ریزی محیطی، دوره ۲۷، شماره ۳، صص ۴۹-۶۶.

حسینی خواه، حسین؛ ضرابی، اصغر. (۱۳۹۸)، نقش مدل ترکیبی تصمیم‌گیری WASPAS در شناسایی پنهان‌های لرزه‌خیز (پژوهش موردی: مراکز جمعتی شهرستان بهمنی)، تحلیل فضایی مخاطرات محیطی، دوره ۶، شماره ۲، صص ۱۴۷-۱۶۴.

کریمی، مرتضی؛ نجفی، اسماعیل. (۱۳۹۴)، ارزیابی خطر زلزله با استفاده از مدل ترکیبی AHP-FUZZY در امنیت شهری (مطالعه موردی: منطقه یک کلان‌شهر تهران)، برنامه‌ریزی شهری، دوره ۶، شماره ۲۰، صص ۱۷-۳۴.

نصیری، ابراهیم. (۱۳۹۷). تحلیل آسیب‌پذیری اجتماعی بافت‌های فرسوده شهری کلان‌شهر کرج در برابر بحران زلزله با استفاده از مدل ویکور (مطالعه موردی: کرج کهن)، دوره ۱۲، شماره ۱، فصلنامه جغرافیا و برنامه‌ریزی منطقه‌ای، صص ۳۱-۵۰.

Cigna, F., Tapete, D (2021). Present-day land subsidence rates, surface faulting hazard and risk in Mexico City with 2014–2020 Sentinel-1 IW InSAR. *Remote Sensing of Environment*, Vol 253. <https://doi.org/10.1016/j.rse.2020.112161>.

Deyasi, K., Abhijit, C., Anirban, B (2017). Network similarity and statistical analysis of earthquake seismic data, *Physica A: Statistical Mechanics and its Applications*, Vol 478, 224–234. DOI: 10.1016/j.physa.2017.04.050.

Haitao, Liu., Dongqing, Z., Zhaoxia, G (2017). Comparison study on two post-earthquake rehabilitation and reconstruction modes in China. *International Journal of Disaster Risk Reduction*, Vol 23, 119-130. -- <https://doi.org/10.1016/j.ijdrr.2017.04.016>.

Hosseinpour, F., Abdelnaby, A (2017). Fragility curves for RC frames under multiple earthquakes. *Soil Dynamics and Earthquake Engineering*, Vol 98, 222–234.

Huang, K., Shieh, J., Wu, H (2010). A DEMATEL method in identifying key success factors of hospital service quality. *Knowledge-Based Systems* 2010, 277–282.

Ishrat, I., Naima, R., Mehedi, A (2015). GIS-based mapping of vulnerability to earthquake and fire hazard in Dhaka city Bangladesh. *International Journal of Disaster Risk Reduction*, Volume 13.

Jena, R., et al (2021). Earthquake risk assessment in NE India using deep learning and geospatial analysis. *Geoscience Frontiers*, 12(3). <https://doi.org/10.1016/j.gsf.2020.11.007>.

Kayako, S., Honami, Y., Kenzo, T (2017). Living environment, health status, and perceived lack of social support among people living in temporary housing in Rikuzentakata City, Iwate, Japan. *International Journal of Disaster Risk Reduction*, Volume 21, 266–273.

Kreimer, A., Arnold, A., Carlin, A (2003). Building safer cities, The future of disaster risk, *Disaster risk management series*. The World Bank, Vol 3.

Lantada, N., Pujades, L (2008). Vulnerability Index and Capacity Spectrum based method for Urban Seismic Risk Evaluation. *Natural Hazards*, DOI:10.1007/s11069-007-9212-4

Li, CW., Tzeng, G (2009). Identification of a threshold value for the DEMATEL method using the maximum mean de-entropy algorithm to find critical services provided by a semiconductor intellectual property mall. *Expert Systems with Applications*, 36(6), 9891–9898.

Linares, R., Alejandra, R (2012). Panama Prepares the City of David for Earthquakes. Project highlights issue 9, Panama, 1-4.

Qingyun, D., et al (2021). Linkage of deep lithospheric structures to intraplate earthquakes: A perspective from multi-source and multi-scale geophysical data in the South China Block. *Earth Science Reviews*, Vol 214. -- <https://doi.org/10.1016/j.earscirev.2021.103504>.

Tielin, L., Wei, Z (2017). Earthquake responses of near-fault building clusters in mountain cities considering viscoelasticity of earth medium and process of fault rupture. *Soil Dynamics and Earthquake Engineering*, Volume 99, Pages 137–141.

Tucker, B (1994). Some remarks concerning worldwide urban earthquake hazard and earthquake hazard mitigation. *Issues in Urban Earthquake Risk*, Vol 271.

UN (2002). Johannesburg plan of implementation of the world summit on sustainable development, United Nations.

UNDP (2004). Reducing disaster risk, A challenge for development, A global Report, New York, Prevention and Recovery, NY 10017, USA: Bureau for Crisis.

Wald, D., Kishor, J., Bausch, D (2011). Earthquake Impact Scale. *Natural Hazards Review*, VOL 12. DOI: 10.1061/(ASCE)NH.1527-6996.0000040.

Zhou, Y., Leung, C (2017). The oscillatory tendency of interevent direction in earthquake sequences, *Physica A: Statistical Mechanics and its Applications*, 478(15), 120-130.

References

References (in Persian)

- Ablaqi, Alireza (1382). The place of restoration of historical buildings in the process of urban restoration and the experiences of the Urban Development and Improvement Organization in this field. *Haft Shahr Magazine*, No. 17, pp. 43-30. [In Persian]
- Asgarizadeh, Zahra; Rafieian, Mojtaba; Dadashpour, Hashem (1394). Investigation and analysis of an experimental model of earthquake risk reduction behaviors of households in Tehran. *Journal of Natural Hazards*, Volume 4, Number 15, pp. 60-39. [In Persian]
- Azizi, Mohammad Mehdi; Akbari, Reza (1387). Urban planning considerations in measuring the vulnerability of cities to earthquakes. *Journal of Fine Arts*, No. 2, pp. 36-25. [In Persian]
- Mahdavi Nejad, Mohammad Javad, Javanroudi, Kamran (1391). Investigation of Earthquake Vulnerability in Greater Tehran Communication Networks (Case Study: Valiasr St.) North to Parkway Crossroads). *Two Quarterly Journal of Crisis Management*, No. 1, pp. 21-13. [In Persian]
- Maleki, Saeed; Maudat, Elias (1392). Evaluation of seismic vulnerability spectrum in cities based on different intensity scenarios using GIS (Case study: Yazd). *Geography and Environmental Hazards*, No. 5, pp. 142-127. [In Persian]
- Nowruz, Khadijeh; Omidvar, Babak; Malek Mohammadi, Bahram (1392). Risk analysis of multiple urban hazards due to floods and earthquakes (Case study: District 20 of Tehran). *Journal of Natural Environment Hazards*, 2, No. 7, pp. 68-53. [In Persian]
- Qanbari, Abolfazl; Maleki, Mohammad Ali; Qasemi, Masoumeh (1392). Zoning the degree of vulnerability of cities against the risk of earthquakes (Case study: Tabriz). *Journal of Geography and Environmental Hazards*, No. 5, pp. 35-21. [In Persian]
- Sarvar, Houshang; Amir Kashani Asl (2015). Assessment of the physical vulnerability of Ahar city against earthquake crisis. *Environmental Management Quarterly*, No. 34, pp. 108-87. [In Persian]
- Asiri, Ebrahim (1397), Social Vulnerability Analysis of Dilapidated Urban Tissues of Karaj Metropolis against Earthquake Crisis Using Victor Model (Case Study of Ancient Karaj), Volume 12, Number 1, *Journal of Geography and Regional Planning*, pp. 31-50. [In Persian]

References (in English)

- Cigna, F., Tapete, D (2021). Present-day land subsidence rates, surface faulting hazard and risk in Mexico City with 2014–2020 Sentinel-1 IW InSAR. *Remote Sensing of Environment*, Vol 253. <https://doi.org/10.1016/j.rse.2020.112161>.
- Deyasi, K., Abhijit, C., Anirban, B (2017). Network similarity and statistical analysis of earthquake seismic data, *Physica A: Statistical Mechanics and its Applications*, Vol 478, 224–234. DOI: 10.1016/j.physa.2017.04.050.
- Haitao, Liu., Dongqing, Z., Zhaoxia, G (2017). Comparison study on two post-earthquake rehabilitation and reconstruction modes in China. *International Journal of Disaster Risk Reduction*, Vol 23, 119-130. -- <https://doi.org/10.1016/j.ijdrr.2017.04.016>.
- Hosseinpour, F., Abdelnaby, A (2017). Fragility curves for RC frames under multiple earthquakes. *Soil Dynamics and Earthquake Engineering*, Vol 98, 222–234.
- Huang, K., Shieh, J., Wu, H (2010). A DEMATEL method in identifying key success factors of hospital service quality. *Knowledge-Based Systems* 2010, 277–282.
- Ishrat, I., Naima, R., Mehedi, A (2015). GIS-based mapping of vulnerability to earthquake and fire hazard in Dhaka city Bangladesh. *International Journal of Disaster Risk Reduction*, Volume 13.
- Jena, R., et al (2021). Earthquake risk assessment in NE India using deep learning and geospatial analysis. *Geoscience Frontiers*, 12(3). <https://doi.org/10.1016/j.gsf.2020.11.007>.
- Kayako, S., Honami, Y., Kenzo, T (2017). Living environment, health status, and perceived lack of social support among people living in temporary housing in Rikuzentakata City, Iwate, Japan. *International Journal of Disaster Risk Reduction*, Volume 21, 266–273.
- Kreimer, A., Arnold, A., Carlin, A (2003). Building safer cities, The future of disaster risk, *Disaster risk management series*. The World Bank, Vol 3.
- Lantada, N., Pujades, L (2008). Vulnerability Index and Capacity Spectrum based method for Urban Seismic Risk Evaluation. *Natural Hazards*, DOI:10.1007/s11069-007-9212-4
- Li, CW., Tzeng, G (2009). Identification of a threshold value for the DEMATEL method using the maximum mean de-entropy algorithm to find critical services provided by a semiconductor intellectual property mall. *Expert Systems with Applications*, 36(6), 9891–9898.
- Linares, R., Alejandra, R (2012). Panama Prepares the City of David for Earthquakes. Project highlights issue 9, Panama, 1-4.
- Qingyun, D., et al (2021). Linkage of deep lithospheric structures to intraplate earthquakes: A perspective from multi-source and multi-scale geophysical data in the South China Block. *Earth Science Reviews*, Vol 214. -- <https://doi.org/10.1016/j.earscirev.2021.103504>.
- Tielin, L., Wei, Z (2017). Earthquake responses of near-fault building clusters in mountain cities considering viscoelasticity of earth medium and process of fault rupture. *Soil Dynamics and Earthquake Engineering*, Volume 99, Pages 137–141.
- Tucker, B (1994). Some remarks concerning worldwide urban earthquake hazard and earthquake hazard mitigation. *Issues in Urban Earthquake Risk*, Vol 271.

- UN (2002). Johannesburg plan of implementation of the world summit on sustainable development, United Nations.
- UNDP (2004). Reducing disaster risk, A challenge for development, A global Report, New York, Prevention and Recovery, NY 10017, USA: Bureau for Crisis.
- Wald, D., Kishor, J., Bausch, D (2011). Earthquake Impact Scale. Natural Hazards Review, VOL 12. DOI: 10.1061/(ASCE)NH.1527-6996.0000040.
- Zhou, Y., Leung, C (2017). The oscillatory tendency of interevent direction in earthquake sequences, Physica A: Statistical Mechanics and its Applications, 478(15), 120-130.

